

УДК 539.3

КОНТАКТНАЯ ЗАДАЧА ТЕОРИИ УПРУГОСТИ ДЛЯ
ПРЯМОУГОЛЬНИКА С ВЕРТИКАЛЬНЫМИ РАЗРЕЗАМИ,
ВЫХОДЯЩИМИ НА ГРАНИЦУ

ГАЛФАЯН П. О., НЕРСИСЯН Т. Г.

Плоские контактные задачи для прямоугольника рассмотрены в работах [1—5]. В работе [5] приведена плоская контактная задача теории упругости для прямоугольника с внутренним вертикальным разрезом.

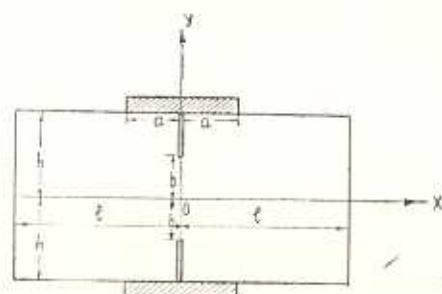
В настоящей статье рассматривается плоская контактная задача теории упругости для прямоугольника с вертикальными разрезами, выходящими на горизонтальную границу прямоугольника, когда на части горизонтальной стороны прямоугольника ($-a \leq x \leq a$) приложены симметрично расположенные жесткие гладкие штампы так, что линия разреза находится под штампами, а на остальной части тех же сторон ($-l \leq x \leq -a$, $a \leq x \leq l$) задана внешняя нагрузка. На вертикальных кромках прямоугольника $x = \pm l$ имеем касательные напряжения и нормальные перемещения. На части оси $x = 0$ ($-h \leq y \leq -b$, $b \leq y \leq h$) заданы нормальные и касательные напряжения, а на остальной части тех же сторон ($-b \leq y \leq b$) — условия симметрии.

Поставленная задача, как известно, сводится к определению бигармонической функции для прямоугольника, которая удовлетворяет граничным условиям, заданным на кромках прямоугольника и в разрезе, а также условиям симметрии вне разреза. Задача решается методом Фурье. Бигармоническая функция представлена в виде суммы двух рядов Фурье. Используя обычные формулы для напряжений и перемещений, выраженные через бигармоническую функцию и удовлетворяя граничным условиям, условиям симметрии и полного контакта, для определения неизвестных коэффициентов получается система парных рядов уравнений с ядром в виде тригонометрических функций. Эта система затем сводится к решению регулярных бесконечных систем линейных алгебраических уравнений. Получены формулы для определения нормальных напряжений под штампом и вне разреза с выделенной особенностью и для перемещений вне штампа и в разрезе. Приводится численный пример.

1. Рассмотрим плоскую задачу теории упругости для прямоугольника (фиг. 1) при симметричных граничных условиях, когда на части продольных сторон прямоугольника ($-l \leq x \leq -a$, $a \leq x \leq l$) заданы внешние нагрузки, а на остальной части тех же сторон (то есть под

штампом) — нормальные перемещения и касательные напряжения. На сторонах же $x = \pm l$ заданы касательные напряжения и нормальные перемещения. На линии разреза ($-h \leq y \leq -b$, $b \leq y \leq h$) заданы нормальные и касательные напряжения, а вне разреза — условия симметрии. В частном случае, когда на поперечных сторонах $x = \pm l$ касательные напряжения и нормальные перемещения равны нулю, имеем периодическую контактную задачу для полосы с вертикальными разрезами, выходящими на границу полосы.

Решение рассматриваемой задачи ищем при помощи функции напряжений Эри, которая в случае отсутствия массовых сил удовлетворяет бигармоническому уравнению внутри прямоугольника $-l < x < l$, $-h \leq y \leq h$.



Фиг. 1

На основании симметрии контурных условий относительно осей симметрии рассматриваемого прямоугольника функцию $\Phi(x, y)$ достаточно определить только для первой четверти прямоугольника.

Границные условия и условия симметрии поставленной задачи имеют вид:

$$\tau_{xy}(x, 0) = 0, \quad v(x, 0) = 0 \quad (0 < x < l) \quad (1.1)$$

$$\tau_{xy}(0, y) = 0, \quad u(0, y) = 0 \quad (0 < y < b) \quad (1.2)$$

$$\sigma_x(0, y) = f_1(y), \quad \tau_{xy}(0, y) = 0 \quad (b < y < h) \quad (1.3)$$

$$\tau_{xy}(x, h) = 0 \quad (0 < x < l) \quad (1.4)$$

$$v(x, h) = f_2(x) \quad (0 < x < a) \quad (1.5)$$

$$\sigma_y(x, h) = f_3(x) \quad (a < x < l) \quad (1.6)$$

$$\tau_{xy}(l, y) = 0 \quad (0 < y < h) \quad (1.7)$$

$$u(l, y) = f_4(y) \quad (0 < y < h) \quad (1.8)$$

Бигармоническую функцию $\Phi(x, y)$ ищем в виде

$$\begin{aligned} \Phi(x, y) = & \frac{1}{2} (Ax^2 + By^2) + \sum_{k=1}^{\infty} (A_k \cosh \beta_k y + B_k \sinh \beta_k y) \cos \beta_k x + \\ & + \sum_{k=1}^{\infty} [C_k \cosh \beta_k x + D_k \sinh \beta_k x + E_k \cosh \beta_k x + F_k \sinh \beta_k x] \cos \beta_k y \end{aligned} \quad (1.9)$$

$(0 < x < l, 0 < y < h)$

где

$$\alpha_k = \frac{k\pi}{l}; \quad \beta_k = \frac{k\pi}{h} \quad (1.10)$$

Удовлетворяя условиям (1.1)–(1.8) и ис пользуя формулу обращения Фурье для определения коэффициентов A_k , B_k , C_k , D_k , E_k и F_k , получим следующие соотношения:

$$A_k = -(1 + \tau_k h \operatorname{ctgh} \beta_k h) B_k; \quad E_k = -D_k \quad (1.11)$$

$$C_k = -\left(\operatorname{ctgh} \beta_k l + \frac{\beta_k l}{\operatorname{sh}^2 \beta_k l}\right) D_k - \frac{E a_k - 1 + \beta_k l \operatorname{ctgh} \beta_k l}{2 \beta_k} \quad (1.12)$$

$$F_k = \operatorname{ctgh} \beta_k l D_k + \frac{E a_k - 1}{2 \beta_k \operatorname{sh}^2 \beta_k l}; \quad a_k = \frac{2}{h} \int_0^h f_4(y) \cos \beta_k y dy \quad (1.13)$$

$$\sum_{k=1}^{\infty} \frac{\bar{X}_k}{k} \sin kt = \psi(t) \quad (0 < t < t_1) \quad (1.14)$$

$$\sum_{k=1}^{\infty} \frac{\bar{Y}_k}{k} \sin kx = \gamma(z) \quad (0 < z < z_1) \quad (1.15)$$

$$\sum_{k=1}^{\infty} \bar{Y}_k \sin kx = 0 \quad (z_1 < z < \pi) \quad (1.16)$$

где

$$\psi(t) = \sum_{p=1}^{\infty} \frac{i_p X_p - b_p}{p} \sin pt + \frac{E}{2} \int_0^{\frac{T-t}{\pi}} f_2\left(\frac{l}{\pi} \eta\right) d\eta - \frac{h}{2} (A - \tau B)t \quad (1.17)$$

$$\gamma(z) = \sum_{p=1}^{\infty} \frac{i_p Y_p - c_p}{p} \sin px + \frac{z}{2} \left| \frac{E a_0}{2} + l(\tau A - B) \right| \quad (1.18)$$

$$i_p = \frac{2 \alpha_p h + 1 - \exp(-2 \alpha_p h)}{\operatorname{sh} 2 \alpha_p h + 2 \alpha_p h}; \quad i_p = \frac{2 \beta_p l + 1 - \exp(-2 \beta_p l)}{\operatorname{sh} 2 \beta_p l + 2 \beta_p l} \quad (1.19)$$

$$B_k \alpha_k \left(\operatorname{ch} \beta_k h + \frac{\alpha_k h}{\operatorname{sh} \alpha_k h} \right) = X_k = \bar{X}_k + b_k \quad (1.20)$$

$$D_k \beta_k \left(\operatorname{ctgh} \beta_k l + \frac{\beta_k l}{\operatorname{sh}^2 \beta_k l} \right) = Y_k = \bar{Y}_k + c_k \quad (1.21)$$

$$t = \frac{\pi x}{l}; \quad t_1 = \frac{\pi a}{l}; \quad z = \frac{\pi y}{h}; \quad z_1 = \frac{\pi b}{h}$$

$$b_k = \frac{2}{\pi} \int_0^{\pi} \varphi_s(t) \sin kt dt; \quad c_k = \frac{2}{\pi} \int_0^{\pi} g_s(z) \sin kz dz \quad (1.22)$$

Для решения систем парных рядов уравнений (1.14) и (1.15) используем результаты работы [9]:

$$X_k = \frac{4V_{\varepsilon_1}}{\pi} \int_0^1 \left[F(k, -k; 1; \varepsilon_1 s^2) \frac{d}{ds} \int_0^s \frac{\mu \psi(\beta) d\beta}{\sqrt{(s^2 - \mu^2)(1 - \varepsilon_1 \mu^2)}} \right] ds + \frac{b_k}{k} \quad (1.23)$$

$$Y_k = \frac{4V_{\varepsilon_2}}{\pi} \int_0^1 \left[F(k, -k; 1; \varepsilon_2 s^2) \frac{d}{ds} \int_0^s \frac{\mu \psi(\beta) d\beta}{\sqrt{(s^2 - \mu^2)(1 - \varepsilon_2 \mu^2)}} \right] ds + \frac{c_k}{k} \quad (1.24)$$

где $F(x, \beta; \gamma; z)$ — гиперболический ряд,

$$\bar{X}_k + b_k = k X_k; \quad \bar{Y}_k + c_k = k Y_k \quad (1.25)$$

$$\varepsilon_1 = \sin^2 \frac{\pi a}{2l}; \quad \varepsilon_2 = \sin^2 \frac{\pi b}{2h} \quad (1.26)$$

$$\alpha = 2 \arcsin(V_{\varepsilon_1 \mu}); \quad \beta = 2 \arcsin(V_{\varepsilon_2 \mu}) \quad (1.27)$$

Подставляя (1.16), (1.17) в выражения (1.23), (1.24), после некоторых преобразований, получаем совокупность двух бесконечных систем линейных алгебраических уравнений:

$$X_k = \sum_{p=1}^{\infty} a_{kp} X_p + \sum_{p=1}^{\infty} b_{kp} Y_p + m_k \quad (k=1, 2, \dots) \quad (1.28)$$

$$Y_k = \sum_{p=1}^{\infty} c_{kp} Y_p + \sum_{p=1}^{\infty} d_{kp} X_p + n_k$$

Здесь

$$a_{kp} = \varepsilon_p R_{kp}; \quad b_{kp} = \frac{l}{h} (1 - \mu_p) \left[e_p R_{kp} - \frac{4 \gamma_k}{\pi} \frac{(-1)^p p^2}{(p^2 + \gamma_k^2)^2} \right] \quad (1.29)$$

$$c_{kp} = \mu_p L_{kp}; \quad d_{kp} = \frac{h}{l} (1 - \mu_p) \left[r_p L_{kp} - \frac{4 \delta_k}{\pi} \frac{(-1)^p p^2}{(p^2 + \delta_k^2)^2} \right] \quad (1.30)$$

$$m_k = \sum_{p=1}^{\infty} \varepsilon_p R_{kp} - \varepsilon_k + M_k - \frac{q_1}{2k} z_k (\cos t_1) \quad (1.31)$$

$$n_k = \sum_{p=1}^{\infty} \mu_p L_{kp} - \mu_k + \frac{q_2}{2k} z_k (\cos z_1) \quad (1.32)$$

$$R_{kp} = \frac{4V_{\varepsilon_1}}{\pi} \int_0^1 \left[F(k, -k; 1; \varepsilon_1 s^2) \frac{d}{ds} \int_0^s \frac{\mu \sin(pz) d\beta}{\sqrt{(s^2 - \mu^2)(1 - \varepsilon_1 \mu^2)}} \right] ds \quad (1.33)$$

$$L_{kp} = \frac{4\sqrt{\varepsilon_2}}{\pi} \int_0^1 \left[F(k, -k; 1; \varepsilon_2 s^2) \frac{d}{ds} \int_0^s \frac{\mu \sin(\rho \beta) d\rho}{\sqrt{(s^2 - \mu^2)(1 - \varepsilon_2 \mu^2)}} \right] ds \quad (1.34)$$

$$M_k = \frac{2E\sqrt{\varepsilon_1}}{\pi} \int_0^1 \left[F(k, -k; 1; \varepsilon_1 s^2) \frac{d}{ds} \int_0^s \frac{\mu d_2(\alpha) d\rho}{\sqrt{(s^2 - \mu^2)(1 - \varepsilon_1 \mu^2)}} \right] ds \quad (1.35)$$

$$\tilde{\gamma}_k = \frac{2l}{\pi k} \left(\frac{Ek}{h} \tilde{\gamma}_{k,k} - \frac{A}{k} - \frac{1}{\pi} \int_0^\pi d_1(\eta) \sin k\eta d\eta \right) \quad (1.36)$$

$$\tilde{\gamma}_{k,k} = \frac{2h}{\pi k} \left(\frac{\pi E}{4h} a_k s_k - \frac{B}{k} - \frac{1}{\pi} \int_0^\pi d_1(\eta) \sin k\eta d\eta \right) \quad (1.37)$$

$$\tilde{\gamma}_k = \frac{kl}{h}; \quad \tilde{a}_k = \frac{kh}{l}; \quad \tilde{\gamma}_{k,k} = \sum_{p=1}^{\infty} \frac{pa_p}{(\rho^2 + \gamma_k^2)^{1/2}}, \quad q_1 = h(A \rightarrow B) \quad (1.38)$$

$$e_p = \frac{1 - \beta_p l \operatorname{ctn} \beta_p l}{\operatorname{sh} \beta_p l}; \quad r_p = \frac{1 - \alpha_p h \operatorname{ctn} \alpha_p h}{\operatorname{sh} \alpha_p h}; \quad s_p = \frac{1 + \beta_p l \operatorname{ctn} \beta_p l}{\operatorname{sh} \beta_p l} \quad (1.39)$$

$$q_2 = \frac{Ea_0}{2} + l(A-B); \quad z_k(\cos t_i) = P_{k-1}(\cos t_i) - P_k(\cos t_i) \quad (1.40)$$

$$d_1(\eta) = \int_{-\frac{h}{\pi}\eta}^{\frac{h}{\pi}\eta} f_1\left(\frac{h}{\pi}t\right) dt; \quad d_2(\eta) = \int_0^{\frac{l}{\pi}\eta} f_2\left(\frac{l}{\pi}t\right) dt; \quad d_3(\eta) = \int_{-\frac{l}{\pi}\eta}^{\frac{l}{\pi}\eta} f_3\left(\frac{l}{\pi}t\right) dt \quad (1.41)$$

где $P_n(x)$ — полином Лежандра.

Используя обычные формулы для напряжений и перемещений, выраженные через бигармоническую функцию, получаем выражения для перемещений в разрезе и вне штампа, и нормальных напряжений — вне разреза и под штампом:

$$Eu(0, y) = - \frac{2h}{\pi} \sum_{k=1}^{\infty} Y_k \beta_k (1 - \mu_k) (\cos \beta_k y - \cos \beta_k b) \quad (b < y \leq h) \quad (1.42)$$

$$Ev(x, h) = \frac{2l}{\pi} \sum_{k=1}^{\infty} X_k \beta_k (1 - \lambda_k) (\cos \beta_k x - \cos \beta_k a) + Ef_2(x) \quad (a < x \leq l) \quad (1.43)$$

$$\begin{aligned} \sigma_x(0, y) = & - \frac{Q_1 \cos \frac{\pi y}{2h}}{\sqrt{\frac{\cos \frac{\pi y}{h} - \cos \frac{\pi b}{h}}{2}}} + \frac{Q_1}{\sqrt{2}} + \frac{\pi}{2h} \sum_{k=1}^{\infty} \rho_k \sum_{p=1}^{\infty} G_{kp}(\varepsilon_2) \cos \frac{p\pi y}{h} + \\ & + \frac{\pi}{2h} \sum_{k=1}^{\infty} k [Ea_k s_k - 2k\bar{n}_k (1 - \mu_k) N_k] \cos \frac{k\pi y}{h} + \end{aligned} \quad (1.44)$$

$$+ \frac{\pi}{l} \sum_{k=1}^{\infty} X_k k^2 (1 - \lambda_k) \left| U_k(y) - (1 - \mu_k) N_k \Theta_k \left(\frac{\pi y}{h} \right) \right| + B, \quad (0 \leq y \leq b)$$

$$z_1(x, h) = -\frac{Q_2 \cos \frac{\pi x}{2l}}{\sqrt{\cos \frac{\pi x}{l} - \cos \frac{\pi a}{l}}} + \frac{Q_2}{\sqrt{2}} + \frac{\pi}{2l} \sum_{k=1}^{\infty} \bar{\rho}_k \sum_{p=1}^{\infty} G_{kp}(\varepsilon_1) \cos \frac{p\pi x}{l} + \\ + \frac{\pi}{l} \sum_{k=1}^{\infty} \bar{m}_k k^2 (1-\varepsilon_k) \bar{N}_k \cos \frac{k\pi x}{l} + \frac{\pi E}{2h} \sum_{k=1}^{\infty} (-1)^k k a_k W_k(x) - \\ - \frac{\pi}{h} \sum_{k=1}^{\infty} Y_k k^2 (1-\varepsilon_k) \left[(1-\varepsilon_k) \bar{N}_k \Theta_k \left(\frac{\pi x}{l} \right) - (-1)^k V_k(x) \right] + A \quad (0 \leq x \leq a)$$

где

$$Q_1 = \frac{\pi \ln(1-\varepsilon_2)}{\sqrt{2}h} \sum_{k=1}^{\infty} \bar{\rho}_k \bar{y}_k (\cos z_1); \quad Q_2 = \frac{\pi \ln(1-\varepsilon_1)}{\sqrt{2}l} \sum_{k=1}^{\infty} \bar{\rho}_k \bar{y}_k (\cos t_1) \quad (1.46)$$

$$\bar{\rho}_k = k^2 (1-\varepsilon_k) N_k \left[\bar{\mu}_k Y_k + \frac{h}{l} (1-\varepsilon_k) r_k X_k + \eta_k \right] \quad (1.47)$$

$$\bar{y}_k = k^2 (1-\varepsilon_k) \bar{N}_k \left[\bar{\nu}_k X_k + \frac{l}{h} (1-\varepsilon_k) e_k Y_k + \xi_k \right] \quad (1.48)$$

$$G_{kp}(\varepsilon_1) = \frac{2}{p} R_{kp} + \bar{y}_k (\cos t_1) \bar{y}_p (\cos z_1) \ln(1-\varepsilon_1) \quad (1.49)$$

$$G_{kp}(\varepsilon_2) = \frac{2}{p} L_{kp} + \bar{y}_k (\cos z_1) \bar{y}_p (\cos z_1) \ln(1-\varepsilon_2) \quad (1.50)$$

$$\bar{m}_k = M_k - \bar{\varepsilon}_k + \frac{q_1}{2k} z_k (\cos t_1); \quad \bar{n}_k = \bar{\varepsilon}_k + \frac{q_2}{2k} z_k (\cos z_1) \quad (1.51)$$

$$N_k = \operatorname{cth} \beta_k l + \frac{\beta_k l}{\operatorname{sh}^2 \beta_k l}; \quad \bar{N}_k = \operatorname{cth} \tau_k h + \frac{\tau_k h}{\operatorname{sh}^2 \tau_k h} \quad (1.52)$$

$$U_k(y) = \frac{\operatorname{ch} \tau_k y - \tau_k y}{\operatorname{sh}^2 \tau_k h} - \tau_k (h-y) \frac{\operatorname{sh} \tau_k y}{\operatorname{sh} \tau_k h} \quad (1.53)$$

$$V_k(x) = \frac{\operatorname{ch} \beta_k (l-x)}{\operatorname{sh} \beta_k l} - \beta_k l \frac{\operatorname{ch} \beta_k x}{\operatorname{sh}^2 \beta_k l} - \beta_k x \frac{\operatorname{sh} \beta_k (l-x)}{\operatorname{sh} \beta_k l} \quad (1.54)$$

$$W_k(x) = \frac{\operatorname{ch} \beta_k x}{\operatorname{sh} \beta_k l} - \beta_k l \frac{\operatorname{ch} \beta_k (l-x)}{\operatorname{sh}^2 \beta_k l} - \beta_k (l-x) \frac{\operatorname{sh} \beta_k x}{\operatorname{sh} \beta_k l} \quad (1.55)$$

$$\Theta_k \left(\frac{\pi y}{h} \right) = \frac{(1 - z_k h \operatorname{cth} \tau_k h) \operatorname{ch} \tau_k y + z_k y \operatorname{sh} \tau_k y}{\operatorname{sh} \tau_k h} \quad (1.56)$$

$$\Theta_k \left(\frac{\pi x}{l} \right) = \frac{(1 - \bar{\varepsilon}_k l \operatorname{cth} \beta_k l) \operatorname{ch} \beta_k x + \bar{\varepsilon}_k x \operatorname{sh} \beta_k x}{\operatorname{sh} \beta_k l} \quad (1.57)$$

$$\bar{y}_k (\cos t_1) = P_{k-1} (\cos t_1) + P_k (\cos t_1) \quad (1.58)$$

2. Рассмотрим численный пример, когда

$$f_2(x) = -\tilde{a}, \quad f_1(y) = f_3(x) = f_4(y) = 0$$

В этом случае по формулам (1.44), (1.45), (1.42), (1.43) вычислены нормальные напряжения под штампом и вне разреза, а также перемещения вне штампа и в разрезе в зависимости от $\lambda = \frac{a}{l}$, $\mu = \frac{b}{h}$, $\nu = 0,3$, $h = a$.

Результаты вычислений приведены в табл. (1—2).

Таблица 1

$$\frac{1}{h} u(0, y)$$

λ	y/b	1	$1 + \frac{1}{4} \left(\frac{1}{\mu} - 1 \right)$	$1 + \frac{1}{2} \left(\frac{1}{\mu} - 1 \right)$	$1 + \frac{3}{4} \left(\frac{1}{\mu} - 1 \right)$	$\frac{1}{\mu}$
0,25	0,25	0,0000	-0,0003	-0,0319	-0,0126	-0,0155
	0,50	0,0000	-0,0196	-0,0321	-0,0440	-0,0411
	0,90	0,0000	-1,1485	-0,6981	-0,1398	-1,3657
0,50	0,25	0,0000	-0,0668	-0,0094	0,0201	0,0311
	0,50	0,0000	-0,0030	0,1130	0,1968	0,2139
	0,90	0,0000	0,6666	0,2763	-0,0529	0,6502
0,90	0,25	0,0000	-0,4565	-0,4078	-0,4525	-0,4846
	0,50	0,0000	-0,2269	-0,2097	-0,2227	-0,2195
	0,90	0,0000	0,9594	0,3803	-0,0994	0,8840

Таблица 2

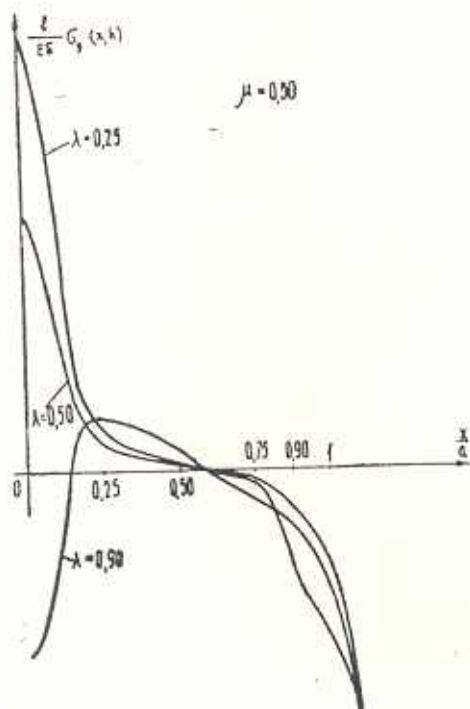
$$\frac{1}{h} v(x, h)$$

μ	x/a	1	$1 + \frac{1}{4} \left(\frac{1}{\lambda} - 1 \right)$	$1 + \frac{1}{2} \left(\frac{1}{\lambda} - 1 \right)$	$1 + \frac{3}{4} \left(\frac{1}{\lambda} - 1 \right)$	$\frac{1}{\lambda}$
0,25	0,25	-1,0000	-1,4634	-0,2712	0,7054	1,0724
	0,50	-1,0000	-0,6486	1,6024	3,1777	3,7376
	0,90	-1,0000	22,1014	9,0928	-2,2787	22,1025
0,50	0,25	-1,0000	-1,4633	-0,2712	0,7057	1,0718
	0,50	-1,0000	-0,6564	1,5850	3,1535	3,7092
	0,90	-1,0000	21,1043	8,4511	-2,4356	20,8882
0,90	0,25	-1,0000	-1,4516	-0,2503	0,7134	1,0771
	0,50	-1,0000	-0,6679	1,5605	3,1212	3,6775
	0,90	-1,0000	20,9949	8,4405	-2,3771	20,8064

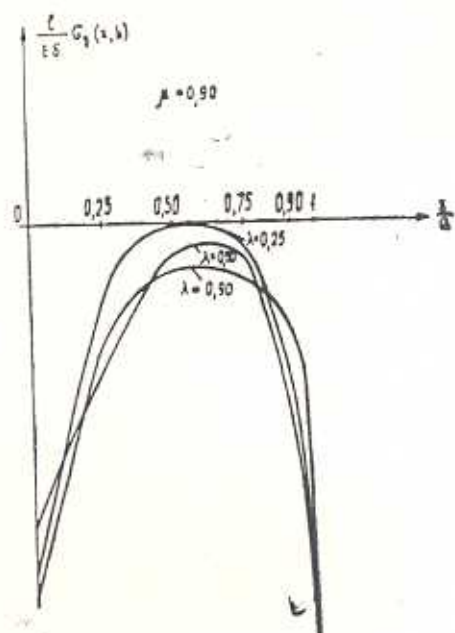
Для наглядного представления закона распределения напряжения и перемещения построены графики, которые приведены на фиг. (2—5).

Как показывают вычисления (табл. 1—2) и построенные графики

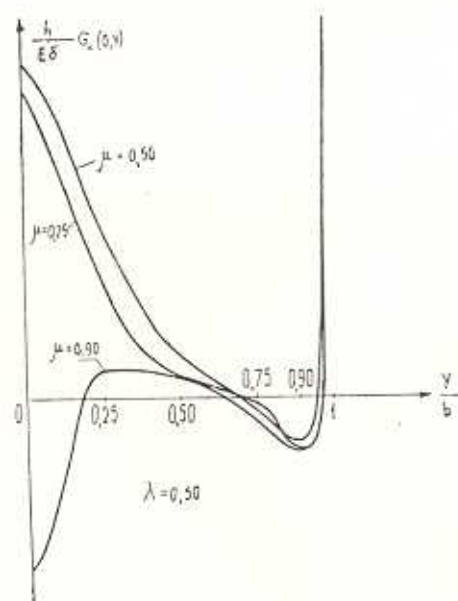
(фиг. 2–5), закон распределения $\tau_y(x, h)$ качественно совпадает с законом распределения соответствующего напряжения для полосы



Фиг. 2



Фиг. 3



Фиг. 4

без разрезов, когда $\mu > 0.5$, а при $\mu \leq 0.5$ — качественно отличается. Несоответствия $u(0, y)$ в случае $\lambda < 0.5$ при любом μ отрицательные, то